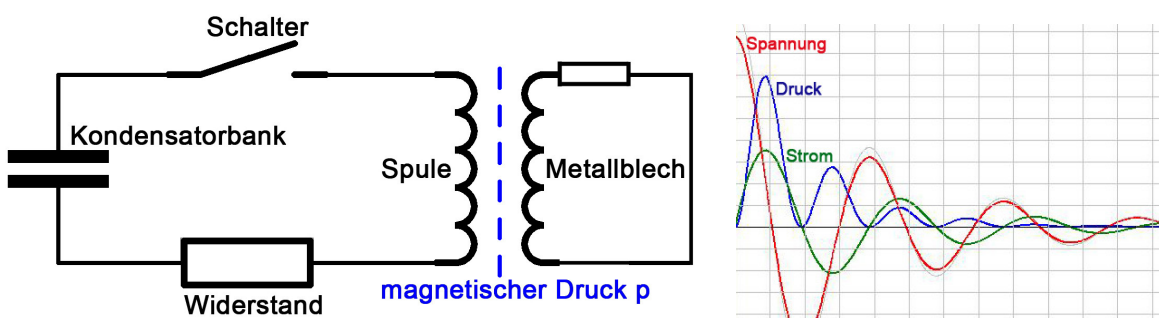


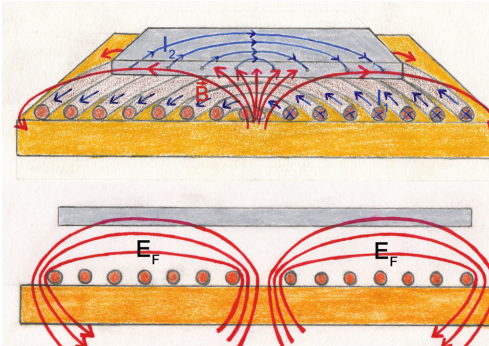
## Was sind die physikalischen Grundlagen des Verfahrens?

Entlädt sich eine große Kondensatorbank über eine Spule, so wird die in den Kondensatoren gespeicherte Energie in die Spule übertragen. Es bildet sich ein Schwingkreis, dessen Stromverlauf in der Umgebung der Spule ein zeitlich veränderliches Magnetfeld erzeugt.



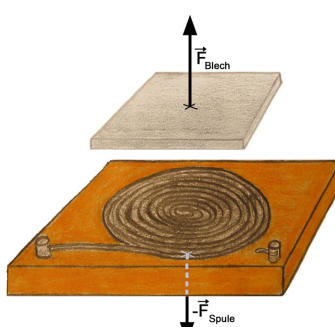
Wird nun auf eine Flachspule (schneckenartig gewickelte Spule in Form einer archimedischen Spirale) ein elektrisch gut leitfähiges Metallblech (z.B. Aluminium oder Kupfer) platziert, so werden in dem Werkstück Wirbelströme induziert, die dem Spulenstrom entgegengerichtet sind.

Wegen des sog. „Skineffekts“ reduziert sich die Eindringtiefe des elektromagnetischen Wechselfeldes je nach Frequenz  $f_0$  jedoch auf die Werkstückwand des zu bearbeitenden Metallblechs.



Dieser Effekt hat zur Folge, dass das Magnetfeld auf den Volumenraum  $V$  zwischen Spule und Blech beschränkt wird und einen sog. *magnetischen Druck* zwischen Werkstückwand und Spule hervorruft. Da der wirksame Druck der *magnetischen Energiedichte* im Volumenraum  $V$  entspricht, gilt:

$$p = \frac{B^2}{2\mu_0} = \frac{E_C}{V}$$



Dieser wirksame Druck  $p$  entspricht in Abhängigkeit von der Blechfläche  $A$  einer Kraft ( $F=pA$ ), die auf das Blech wirkt. Nach dem 3. Newtonschen Gesetz wirkt diese Kraft in entgegengesetzter Richtung auch auf die Spule ( $F_{Blech} = -F_{Spule}$ ). Aufgrund des Impulserhaltungssatzes ergeben sich zwei betragsgleiche Kraftstöße in entgegengesetzte Richtungen. Da die Spule zusammen mit ihrer Unterlage eine sehr hohe Masse besitzt wird nur das Metallblech aufgrund seiner geringen Masse beschleunigt.

Wird das Metallblech jedoch während seiner Abstoßungsbewegung durch entsprechende Fügepartner blockiert, so kann es in verschiedenartigste Gebilde verformt bzw. gestanzt werden (siehe "Elektromagnetische Verformung von Kreisblechen"; "Elektromagnetisches Stanzen von Metallblechen"). Nach demselben physikalischen Prinzip können rohrartige Metallgebilde auch berührungslos verformt werden, was anhand des "Elektromagnetischen Dosenzerquetschers" demonstriert wird.

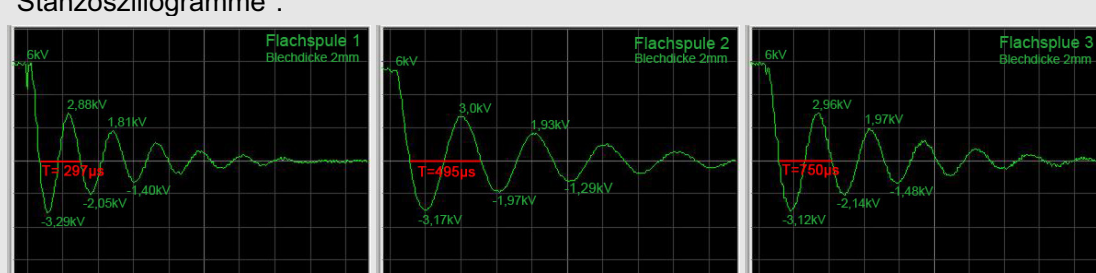
## Spannungsoszillogramme der Pulsentladungen

Mit Hilfe des **Lichtwellenleiter-Meßsystems** ist es möglich die Spannungsverläufe an den Kondensatoren während den Pulsentladungen mit einem digitalen Speicheroszilloskop aufzuzeichnen. Anhand der Oszillrogramme lassen sich verschiedene Parameter bzw. Funktionen berechnen, die für die Optimierung der "Metallverformung durch Kurzpuls-magnetfelder" essentiell sind:

- 1.) tatsächliche Resonanzfrequenz/ Periodendauer
- 2.) Dämpfung
- 3.) max. Pulsleistung
- 4.) Umkehrspannung (reversal voltage)
- 5.) quantitativer Stromverlauf
- 6.) qualitativer Verlauf des magnetischen Drucks

Je nach Flachspulenausführung und Anwendung ergeben sich unterschiedliche Spannungsoszillogramme.

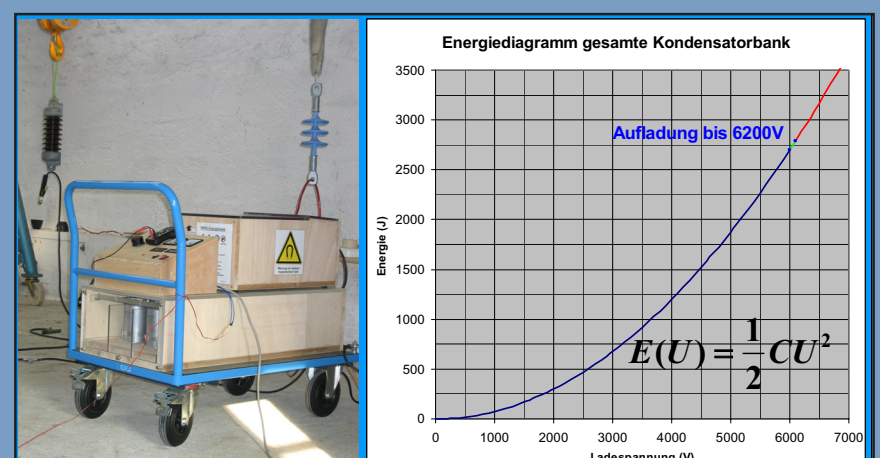
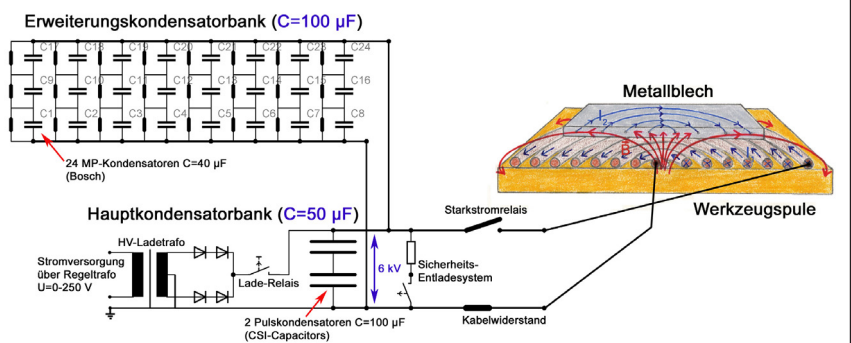
"Stanzoszillogramme":



"Kreisblechoszillogramme":



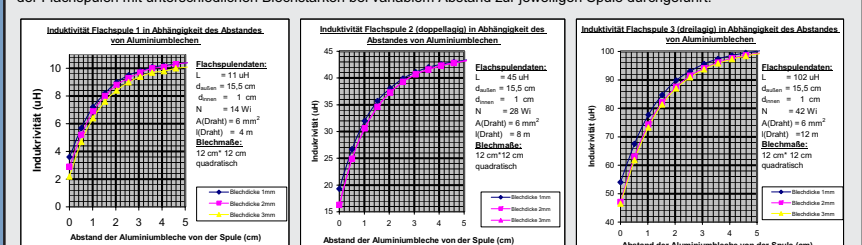
## Schaltplan der Versuchsanordnung



### Variierung der Spuleninduktivität bei unterschiedlichem Blechabstand

Die Induktivität der verwendeten Flachspulen hängt nicht nur von den Windungszahlen, sondern auch von der Art der Gegeninduktivität, d.h. den physikalischen Eigenschaften des aufgelegten Metallblechs (Dicke, ohmschen Widerstand, magnetische Suszeptibilität, etc.) ab. Je nach Abstand der Spule ergibt sich eine mehr oder weniger starke Erniedrigung der Spuleninduktivität.

Dieses physikalische Phänomen ist mit einem *belasteten Transistor* vergleichbar, dessen kurzgeschlossene Sekundärwicklung die primäre Gesamtinduktivität stark erniedrigt. Da eine theoretische Beschreibung der genauen Zusammenhänge aufgrund der unbekannten Blechinduktivität (jeine Windung, die radial zu einer Fläche verschmilzt) nur sehr schwer möglich ist, scheint es sinnvoller die Zusammenhänge experimentell zu ermitteln. Hierzu wurden Induktivitätsmessungen der Flachspulen mit unterschiedlichen Blechstärken bei variabilem Abstand zur jeweiligen Spule durchgeführt.



Aus den Diagrammen ist ersichtlich, dass die Spuleninduktivität stark von dem Abstand zwischen Flachspule und Blech abhängt. Bei direktem Kontakt des Bleches zur Spule ist die Induktivität am geringsten und beträgt zwischen 18-50% der ursprünglichen Spuleninduktivität. Entfernt man nun das Blech schrittweise von der Spule, so zeigt sich ein starkes Anwachsen der Induktivität. Dies lässt sich durch die Abnahme des Kopplungsfaktors  $k$  zwischen Spule und Blech erklären. Bei einem Abstand von ca. 5 cm nähert sich die Spuleninduktivität schließlich asymptotisch an die ursprüngliche Spuleninduktivität an.

Da das Metall während des Stanzvorgangs von der Spule weg beschleunigt wird, ändert sich in diesem Zeitraum ständig die Eigeninduktivität der Spule. Dies bedeutet, dass die Spuleninduktivität nicht konstant, sondern *zeitabhängig* ist. Anhand der Diagramme kann man jedoch das jeweilige "Induktivitätsspektrum" abschätzen und quantitativ den Stromverlauf berechnen.

### Resonanzfrequenz und Periodendauer

Nach der sog. **Thomson-Gleichung** ist die Spuleninduktivität zusammen mit der Kondensatorkapazität charakteristisch für die Resonanzfrequenz der Pulsentladungen:

$$f_0 = \frac{1}{2\pi\sqrt{LC}} \quad T = \frac{1}{f_0}$$

Da die Kapazität der Kondensatorbank ( $C=150 \mu F$ ) als fester Wert anzunehmen ist, lässt sich die Resonanzfrequenz als Funktion der Spuleninduktivität darstellen.

$$f(L) = \frac{1}{2\pi\sqrt{150 \cdot 10^{-6} F}}$$

### Induktivität-Frequenz-Diagramm bei $C=150 \mu F$ ; $U=6kV$

### Induktivität-Periodendauer-Diagramm bei $C=150 \mu F$

### Dämpfung

Der Abklingfaktor  $\delta$  einer exponentiell gedämpften Sinusschwingung der Art  $U(t) = U_0 \cdot e^{-\delta t} \cdot \cos \omega t$  lässt sich darstellen durch  $\delta = \frac{\Delta}{T}$

Das sog. logarithmischen Dekrement  $\Delta$  wiederum ist definiert mit:

$$\Delta = \ln \frac{y(t)}{y(t+T)}$$

Bildet man den Logarithmus des Verhältnisses zweier aufeinander folgender Spannungsamplituden mit selben Vorzeichen, so erhält man  $\Delta$ . Die Werte der logarithmischen Dekremente lassen sich nun in einer Tabelle darstellen.

	FL1-Stanzanordnung	FL2-Stanzanordnung	FL3-Stanzanordnung
log. Dekrement → Extrema 0-2	$\Delta = 0,73$	$\Delta = 0,70$	$\Delta = 0,71$
log. Dekrement → Extrema 1-3	$\Delta = 0,47$	$\Delta = 0,48$	$\Delta = 0,38$
log. Dekrement → Extrema 2-4	$\Delta = 0,46$	$\Delta = 0,44$	$\Delta = 0,41$
log. Dekrement → Extrema 3-5	$\Delta = 0,38$	$\Delta = 0,42$	$\Delta = 0,37$

Wie man erkennen kann ist das logarithmische Dekrement innerhalb der einzelnen Zeitintervalle nicht konstant!

Dies bedeutet, dass sich die Funktionen der Pulsoptillationen nicht durch

$$U(t) = U_0 \cdot e^{-\delta t} \cdot \cos \omega t$$

konstanter Wert ist

Trotzdem lässt sich aus den Werten der Dekrete die ungefähre Position der Metallbleche während den Pulsentladungen abschätzen. Aus dem "großen Sprung" zwischen den Dekrementen  $\Delta_{extrem 0-2}$  und  $\Delta_{extrem 1-3}$  kann man schließen, dass das Metallblech schon zwischen dem 2. und 3. Spannungsextrama direkt die Kopplung mehr zu der Spule hat.

Das bedeutet, dass das Metallblech ab diesem Zeitpunkt nicht mehr beschleunigt wird und der Schwingkreis nun überwiegend durch den ohmschen Widerstand (Kabel, Schalter, Spule) gedämpft wird.



### Maximale Pulsleistung

Je nach Induktivität der angewandten Spulen ergibt sich ein unterschiedlicher Energieumsatz pro Zeit ( $dW/dt$ ). Um die jeweilige Durchschnitts-Pulseistung innerhalb eines bestimmten Zeitintervalls zu ermitteln ist es zweckmäßig die Spannungsextrama und deren Zeitpunkte aus den Oszillogrammen abzulesen.

Hieraus lassen sich nun die jeweiligen Kondensatorenergie berechnen:

$$E_C(t) = \frac{1}{2} \cdot C \cdot (U(t))^2$$

$$P = \frac{dW}{dt}$$

### max. Pulsleistung bei "Stanzapplikationen":

Spulenart	Kondensatorenenergie bei Stanzanwendung nach einer Schwingungsperiode:	Verlustenergie während der 1.Periode	Pulseistung während der 1.Periode
FL1-Anordnung	$E_C(297 \mu s) = \frac{1}{2} \cdot 150 \cdot 10^{-6} F \cdot (2880V)^2 = 622J$	$E_{lost} = E_{start} - 622 J = 2078 J$	$P_{erste Periode} = dW/dt = 2078 J / 297 \mu s = 7,0 MW$
FL2-Anordnung	$E_C(495 \mu s) = \frac{1}{2} \cdot 150 \cdot 10^{-6} F \cdot (3000V)^2 = 675J$	$E_{lost} = E_{start} - 622 J = 2700 J - 675 J = 2025 J$	$P_{erste Periode} = dW/dt = 2025 J / 495 \mu s = 4,1 MW$
FL3-Anordnung	$E_C(750 \mu s) = \frac{1}{2} \cdot 150 \cdot 10^{-6} F \cdot (2960V)^2 = 657J$	$E_{lost} = E_{start} - 622 J = 2700 J - 657 J = 2043 J$	$P_{erste Periode} = dW/dt = 2043 J / 750 \mu s = 2,7 MW$

### max. Pulsleistung bei "Kreisblechapplikationen":

Spulenart	Kondensatorenenergie bei Kreisblechanwendung nach einer Schwingungsperiode:	Verlustenergie während der 1.Periode	Pulseistung während der 1.Periode
FL1-Anordnung	$E_C(240 \mu s) = \frac{1}{2} \cdot 150 \cdot 10^{-6} F \cdot (3350V)^2 = 842J$	$E_{lost} = E_{start} - 622 J = 1858 J / 240 \mu s = 7,7 MW$	$P_{erste Periode} = dW/dt = 1858 J / 240 \mu s = 7,7 MW$
FL2-Anordnung	$E_C(410 \mu s) = \frac{1}{2} \cdot 150 \cdot 10^{-6} F \cdot (2150V)^2 = 347J$	$E_{lost} = E_{start} - 622 J = 2700 J - 347 J = 2353 J$	$P_{erste Periode} = dW/dt = 2353 J / 410 \mu s = 5,7 MW$
FL3-Anordnung	$E_C(614 \mu s) = \frac{1}{2} \cdot 150 \cdot 10^{-6} F \cdot (2150V)^2 = 347J$	$E_{lost} = E_{start} - 622 J = 2700 J - 347 J = 2353 J$	$P_{erste Periode} = dW/dt = 2353 J / 614 \mu s = 3,8 MW$